



Creative Commons Attribution 4.0 International License (CC BY 4.0)

جغرافیا و مخاطرات محیطی، شماره سی و هشتم، تابستان ۱۴۰۰

صفحه ۱ - ۲۰

doi : <https://dx.doi.org/10.22067/geoeh.2021.67947.1007>

مقاله پژوهشی

## پنهانی خطر سیلاب در شهر ایلام با استفاده از مدل تابع شواهد قطعی

خدیجه داوند - کارشناسی ارشد ژئومورفولوژی، گروه ژئومورفولوژی، دانشکده منابع طبیعی، دانشگاه کردستان، سنندج، ایران.

هیمن شهابی<sup>۱</sup> - دانشیار سنجش از دور، گروه ژئومورفولوژی، دانشکده منابع طبیعی، دانشگاه کردستان، سنندج، ایران.

گروه پژوهشی مطالعات محیطی دریاچه زریبار، پژوهشکده کردستان‌شناسی، دانشگاه کردستان، سنندج، ایران.

ممند سالاری - استادیار ژئومورفولوژی، گروه ژئومورفولوژی، دانشکده منابع طبیعی، دانشگاه کردستان، سنندج ایران.

گروه پژوهشی مطالعات محیطی دریاچه زریبار، پژوهشکده کردستان‌شناسی، دانشگاه کردستان، سنندج، ایران.

تاریخ دریافت: ۱۳۹۹/۱۰/۵      تاریخ تصویب: ۱۴۰۰/۲/۱۸

### چکیده

هدف از این مطالعه، پنهانی خطر سیلاب در شهر ایلام با استفاده از مدل تابع شواهد قطعی می‌باشد. فاکتورهای مؤثر بر وقوع سیل که در این مطالعه در نظر گرفته شدند، شامل شیب، جهت شیب، ارتفاع، فاصله از رودخانه، تراکم آبراهه، شاخص رطوبت توپوگرافی، شاخص قدرت توان جریان، انحنای شیب، لیتوولوژی، خاک‌شناسی، کاربری اراضی و میزان بارندگی هستند. پس از جمع‌آوری اطلاعات و لایه‌های موردنیاز، ۱۲۶ نقطه سیل‌گیر در منطقه مطالعاتی شناسایی شدند. موقعیت‌های سیل‌گیر به صورت تصادفی به دو گروه ۷۰ درصد (۸۹ نقطه) و ۳۰ درصد (۳۷ نقطه) به ترتیب برای مدل‌سازی و اعتبار سنجی تقسیم شدند. به کمک مدل تابع شواهد قطعی (EBF) نقشه‌ی پنهانی خطر سیلاب شهر ایلام تهیه شد. نقشه‌های حساسیت به وقوع سیل تهیه شده، به ۵ کلاس خیلی کم، کم، متوسط، زیاد و خیلی زیاد طبقه‌بندی شدند. برای ارزیابی عملکرد مدل، از سطح زیر نمودار ROC به دست آمده از منحنی ROC استفاده گردید. با توجه به معیار ارزیابی مورداستفاده در این مطالعه (ROC) و با توجه به داده‌های اعتبارسنجی، مدل تابع شواهد قطعی EBF (۰/۹۱۴) در پتانسیل‌یابی سیل‌خیزی در منطقه مورد نظر دارای عملکرد خوبی بود. درنهایت با توجه به نقشه نهایی به دست آمده، مناطق شرق و شمال‌شرقی شهر ایلام در محدوده کم خطر هستند. همچنین نتایج مطالعه نشان داد که سیل‌خیزی شهر ایلام ناشی از عوامل محیطی شامل

شبیزیاد و تغییر کاربری اراضی است که بر اساس نقشه پیش‌بینی خطر سیل ارائه شده، می‌توان در آینده اقدامات مدیریتی مناسبی را جهت کاهش خسارت‌ها و تلفات ناشی از سیل انجام داد.

**کلیدواژه‌ها:** مخاطرات سیلاب، پهنه‌بندی خطر سیلاب، مدل شواهد قطعی، شهر ایلام.

#### ۱- مقدمه

سیلاب از جمله مخاطرات هیدرولوژیکی و فاجعه‌آفرین دنیا می‌باشد که تأثیرات بسیار زیادی بر جوامع بشری داشته و به وضعیتی گفته می‌شود که در آن جریان رودخانه و سطح آب به صورت ناگهانی افزایش پیدا می‌کند و باعث خسارت‌های جانی و مالی می‌گردد (علیزاده، ۱۳۹۰). سیلاب از جمله مخاطرات طبیعی شناخته شده است که بر اساس گزارش پایگاه داده بین‌المللی مخاطرات در زمینه مخاطرات طبیعی، در کنار زلزله و خشکسالی بالاترین رتبه را از لحاظ خسارت‌های مالی و جانی به همراه دارد. ایران همه‌ساله شاهد وقوع مخاطره سیلاب با شدت مختلف است و از آنجایی که این کشور دارای اقلیم خشک و نیمه‌خشک بوده و بارش اندک و غالباً رگباری سالیانه آن از لحاظ زمانی و مکانی توزیع یکنواختی ندارد.

این مقدار کم بارش نیز به دلیل شرایط خاص اقلیمی حاکم در ایران بیشتر در قالب‌های بارش‌های رگباری کوتاه‌مدت و شدید با توجه به شرایط توپوگرافی و پوشش گیاهی در سطح زمین فرصت زیادی برای نفوذ در لایه‌های زیرین را نداشته و در نتیجه بسیار کم جذب زمین شده و بخش عمده‌ای از آن به صورت سیلاب‌های مخرب بر سطح زمین جاری می‌شود (لشکری، ۱۳۷۵)؛ بنابراین محققین بهمنظور کاهش و جلوگیری خسارات سیلاب اقدام به پیش‌بینی و پهنه‌بندی آن در مناطق مختلف می‌نمایند (استغانان<sup>1</sup>، ۲۰۰۲). پهنه‌بندی خطر سیل در واقع ابزاری اساسی برای مدیریت کاهش خطرات سیل و راهکاری قانونی در دست دولت و مسئولان برای کنترل و مدیریت کاربری اراضی و برنامه‌های توسعه و حفاظت از محیط‌زیست است. با پهنه‌بندی خطر وقوع سیلاب می‌توان مناطق حساس و دارای پتانسیل خطر را شناسایی نمود و با ارائه راه حل‌ها، شیوه‌های کنترل و مدیریت مناسب تا حدی از وقوع سیلاب جلوگیری و خسارات ناشی از وقوع آن را کاهش داد. در این بین، نقشه پهنه‌بندی خطر سیلاب به منزله ابزاری مؤثر در برنامه‌ریزی مسیر توسعه آینده شهری و همچنین شناخت نواحی ای که توسعه زیرساخت‌های تخلیه زهکشی سیلاب موردنیاز است، استفاده می‌شود (بوقله<sup>2</sup>، ۲۰۰۶). مسئله تهیه نقشه حساسیت به وقوع سیل توسط محققان مختلفی بررسی شده است. دسترسی سریع به ماهواره بر پایه داده‌های سنجش از دور و بهبود روش‌های تجاری، استفاده از اطلاعات جغرافیایی (GIS) را در تهیه نقشه حساسیت به وقوع سیل افزایش داده است؛ بنابراین GIS یک ابزار مفید برای بررسی وقایع چندبعدی مانند سیلاب است (آزادی و همکاران، ۱۳۹۹).

1 Stephan  
2 Buchle

دامنه وسیعی از تکنیک‌های مدل‌سازی در ارزیابی بلایای طبیعی پیشنهاد و مورداستفاده واقع شده است. محققان مختلفی ارزیابی نقشه‌های سیلاب را توسط GIS انجام داده‌اند و اطلاعات مفیدی را در ارتباط با بعضی از روش‌های موجود جمع‌آوری نموده‌اند. روش‌های مختلف تهیه نقشه حساسیت به وقوع سیل مانند مدل‌های آماری و احتمالاتی در تحقیق‌های مختلف و موارد مطالعاتی مختلفی انجام شده است. در سال‌های اخیر تکنیک‌های پیشرفته‌تری در ارزیابی نقشه‌های حساسیت سیلاب توسط روش‌های محاسبات نرم و داده‌کاوی اجرا شده است. جیمز و همکاران<sup>۱</sup> (۱۹۸۰) ضمن بر Sherman نیازهای مدیریتی بهویژه در اقلیم خشک، به پهنه‌بندی خطر سیل در ایالت یوتای امریکا اقدام کردند و بیان داشتند که به علت تغییرات مناطق سیل گیر از سیلی به سیل دیگر، باید توجه داشت که در مناطق نقشه بندی شده، خطرهای خیلی زیاد و یا خیلی کم نشان داده نشود. هیالمارسون<sup>۲</sup> (۱۹۹۸) برای پهنه‌بندی خطر سیل در مناطق آریزونای غربی و شرقی با استفاده از خصوصیات هیدرولوژیکی و زئومرفولوژیکی، به بررسی خطرهای تهدیدکننده عملیات مهندسی پرداختند. در پایان، با توجه به فرسایش کناری سواحل و بستر رودخانه‌ها و تنشست رسوبات در هنگام وقوع و فروکش جریان سیل، ضوابط موردنظر در پهنه‌بندی منطقه موردنظری و مناطق مشابه را ارائه کردند. مطالعات بهروز دیگری نیز در حوضه سیلاب صورت گرفته است که از آن‌ها می‌توان به پژوهش‌های هونگ و همکاران<sup>۳</sup> (۲۰۱۸) در منطقه پوینگ چین با روش Fuzzy-WoE<sup>۴</sup> در ارتباط با پهنه‌بندی خطر سیل در شهر تالارک فیلیپین بر مبنای روش‌های کیفی، تاریخی و تحلیلی و نیز پژوهش Diakakis و همکاران<sup>۵</sup> (۲۰۱۸) در ارتباط با فاکتورهای کنترل‌کننده توزیع فضایی سیلاب در نواحی مادر شهری و به صورت موردي رویداد ۲۰۱۳ آتن اشاره کرد که نتایج آن نشان داد که ارتباط قوی بین فاکتورها و دقت تخمین سیلاب با ضریب همبستگی ۰/۶۳ و نیز دقت پیش‌بینی ۸۲/۹ درصد وجود دارد.

دوی تین بیوو همکاران<sup>۶</sup> (۲۰۱۹) در ارتباط با مدل‌سازی مکانی سیل در شمال ایران با استفاده از سنجش از دور و GIS و مقایسه بین عملکردهای شواهد قطعی با مدل لجستیک رگرسیون مطالعه کردند، هدف از این مطالعه ارزیابی عملکرد مدل شواهد قطعی (EBF) هم به عنوان مدل فردی و هم ترکیبی با روش لجستیک رگرسیون، از فاکتورهای ارتفاع، زاویه شبیب، انحنای شبیب، شاخص رطوبت توپوگرافی، شاخص قدرت توان جریان، فاصله از رودخانه، باران، زمین‌شناسی و شاخص طبیعی پوشش گیاهی (NDVI) برای منطقه است. پس از به دست آوردن ۱۵۱ نقطه از ۲۱۱ نقطه سیلاب ثبت شده، برای آموزشی مدل و تهیه نقشه‌های حساسیت به سیل استفاده شده است. برای ارزیابی عملکرد مدل‌ها از سطح زیر نمودار ROC به دست آمده از منحنی AUC استفاده گردید. با توجه به معیار ارزیابی

1 James et al

2 Hyalmarson

3 Hong et al

4 Murphy

5 Diakakis et al

6 Due et al

مورد استفاده در این مطالعه (ROC) و با توجه به داده‌های اعتبارسنجی نتایج AUC نشان که EBF، از EBF LR و EBF موفقیت EBF LR به ترتیب ۹۶/۶۱ درصد، ۶۹/۹۴ درصد، ۸۶/۴۵ درصد و ۳۱/۵۶ درصد بوده است. نتایج نشان داد که مدل EBF بالاترین دقت را در پیش‌بینی حساسیت به سیل در حوضه آبریز شمال ایران داشت که ۱۵٪ از کل منطقه در کلاس‌های حساسیت زیاد و بسیار بالا قرار داشت و ۶۲٪ نیز در کلاس‌های حساسیت بسیار کم و کم قرار دارد.

تای فام و همکاران<sup>۱</sup> (۲۰۲۰) به ارزیابی حساسیت سیلاب با استفاده از مدهای آماری پرداختند و آن‌ها برای مدل-سازی از هشت عامل (فاصله از رودخانه‌ها، جهت شیب، ارتفاع، شیب، بارندگی، خاک، کاربری زمین و سنگ‌شناسی) استفاده کردند جایی که فاصله تا رودخانه‌ها مهمترین عامل برای مدل سازی انتخاب شد سیل در این منطقه. عملکرد مدل‌ها با استفاده از اندازه‌گیری‌های آماری و منحنی (ROC) مورد اعتبارسنجی قرار گرفت و نتایج این مطالعه نشان داد که مدل ABM-CDT با ( $AUC = 0.957$ ) با از نظر دقت بهترین قابلیت پیش‌بینی را دارد. امیراحمدی و همکاران (۱۳۸۸) با استفاده از روش شبیه‌سازی هیدرولوژیکی HEC-HMS سیلاب را در دشت کرون موردنرسی قرار داده‌اند. نتایج نشان می‌دهد که مشارکت زیر حوضه‌ها در سیل خروجی لزوماً متناسب با دبی اوج زیر حوضه‌ها نمی‌باشد. مامی‌زاده و همکاران (۱۳۹۴) به پهنگ‌بندی سیلاب رودخانه چرداول (چتاره) با استفاده از مدل HEC-RAS در محیط GIS، در دوره بازگشت‌های مختلفی پرداختند. نتایج نشان داد احتمال سیل‌گیری اراضی حاشیه به علت عریض بودن بستر کanal در اکثر نواحی به طور نسبی کم است. این مسئله حتی در سیل‌های با دوره بازگشت زیاد هم مشاهده می‌شود. پژوهش‌های مرتبط دیگری در داخل ایران نیز صورت گرفته از جمله: سیستانی و همکاران (۱۳۹۶) پهنگ‌بندی خطر سیلاب در حوضه آبریز گابریک را با استفاده از روش مختلف انجام دادند و پارامترهای مؤثر در وقوع سیلاب شناسایی و با به-کارگیری مدل AHP در سیستم اطلاعات جغرافیایی نقشه‌ای با دقت بالا تهیه کردند. نتایج حاصل از این پهنگ‌بندی گویای آن است که مناطق با خطر بالا و بسیار بالا مجموعاً ۲۳/۴ درصد مساحت حوضه را تشکیل داده که نشان از سیلابی بودن پهنگ‌های وسیعی به خصوص در مناطق پست نیمه جنوبی است.

عسگری و همکاران (۱۳۹۷) به بررسی توان سیل خیزی در حوضه آبریز جعفرآباد پرداختند نتایج نشان داد که زیر حوضه‌ها نقش اساسی در سیل خیزی این حوضه داشته که زمین‌های وسیع کشاورزی پایین دست را متأثر می‌کنند. پروین (۱۳۹۹) در پژوهشی به ارزیابی و پهنگ‌بندی خطر سیلاب‌های ناگهانی بر اساس عوامل فیزیوگرافی و شاخص‌های مورفومتریک (مطالعه موردي حوضه قصرشیرین) پرداخت نتایج نشان داد، که بر اساس روش محاسبه درجه خطر ۹۳٪ مساحت حوضه قصرشیرین دارای پتانسیل خطر زیاد و شدید سیلاب ناگهانی است و بر اساس مدل MFFPI به ترتیب ۸۰٪ و ۲۰٪ مساحت این حوضه دارای پتانسیل خطرزیاد، خیلی زیاد و متوسط و

پتانسیل خطرکم و خیلی کم می‌باشد. در پژوهشی دیگر مددی و همکاران (۱۳۹۹) به پهنه‌بندی خطر سیلاب در حوضه آبریز قوری چای کورائیم در استان اردبیل پرداختند. نتایج نشان داد حدود ۱۸ درصد از مساحت حوضه آبخیز مطالعاتی در کلاس‌های با خطر زیاد و بسیار زیاد واقع شده‌اند.

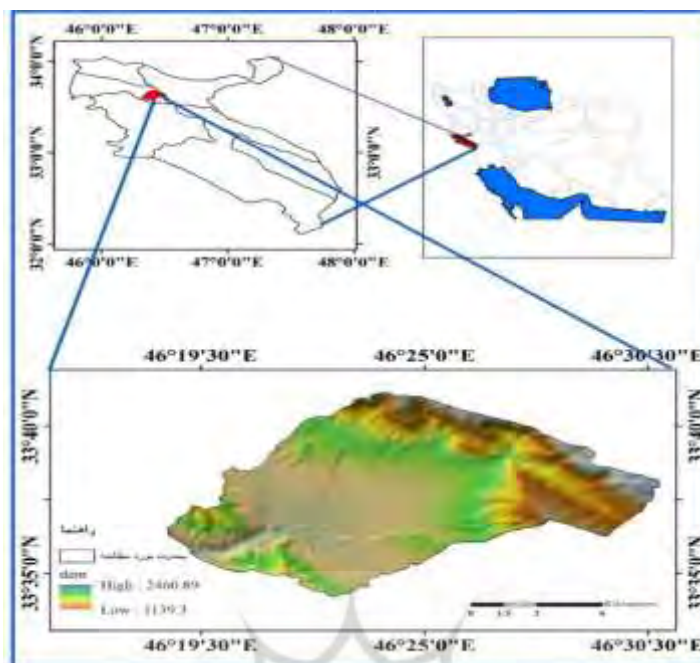
خطر سیلاب در بستر دره‌های اصلی و اراضی پایین دست حوضه مورد مطالعه به دلایل ژئومورفومتریکی از قبیل شکل‌گیری و توسعه دشت‌های سیلابی، ارتفاع نسبی پایین، مقعر بودن سطح زمین و آهنگ سریع حرکت رواناب‌های بالادست از پتانسیل رخداد بالایی برخوردار می‌باشد. علاوه، مکان‌گزینی مناطق مسکونی در دشت‌های سیلابی پایین دست حوضه خطر وقوع سیلاب در این پهنه‌ها را افزایش داده است.

رضایی مقدم و همکاران (۱۳۹۹) در پژوهشی به بررسی حساسیت سیل خیزی حوضه‌های آبریز با استفاده از شاخص‌های هیدروژئومورفیک حوضه آبریز الندچای پرداختند. آن‌ها در پژوهش خود دریافتند که در بین پارامترهای شبکه زهکشی چهار پارامتر بافت زهکشی، نسبت بافت، تراکم زهکشی و نسبت انشعاب به ترتیب با ضرایب ۱۶/۹۶، ۱۳/۸۴، ۱۳/۴۹ و ۱۲/۴۶ درصد و سه پارامتر مساحت، ضریب فشردگی و نسبت مدور بودن به ترتیب با ضرایب ۴۳/۷۵، ۲۹/۶۳، ۲۷/۷۸ و ۲۰/۳۷ درصد در بین پارامترهای شکلی و دو پارامتر برجستگی و شب با ضرایب ۳۱/۲۵ و ۳۱/۲۵ درصد در بین پارامترهای برجستگی بیشترین اهمیت را داشته‌اند.

همان‌طور که بیان گردید، هرساله سیل‌های فراوانی در ایران رخ می‌دهد که باعث خسارات مالی و حتی تلفات جانی شده است که وجود این خسارات ناشی از نبود اطلاعات از مناطق سیل‌گیر و همچنین عدم اقدامات اساسی جهت جلوگیری از سیل می‌باشد. بنابراین با توجه به این موارد در این پژوهش از مدل تابع شواهد قطعی (EBF) برای تهییه نقشه حساسیت خطر سیلاب در شهر ایلام در راستای رویکرد مدیریتی مبتنی بر شرایط محیطی استفاده شده است.

## ۲- منطقه مورد مطالعه

شهر ایلام بین موقعیت جغرافیایی بین "۱۰°۳۳' تا "۱۰°۴۱' طول شرقی و "۳۳°۴۱' تا "۳۶°۱۸' عرض شمالی واقع شده است. منطقه موردمطالعه در جنوب غرب ایران واقع شده است (شکل ۱). پهنه شهر دارای مساحت حدود ۲۰ کیلومترمربع است. ایلام در داخل یک دشت میانکوهی واقع شده و از اطراف بهو سیله ارتفاعات، محصور گردیده است. این شهر در ارتفاع ۱۳۶۳ متری از سطح دریا قرار دارد. به لحاظ ژئومورفیک و چشم‌انداز نیز یک فرم مخروط‌افکنه‌ای دارد که با توجه به ماهیت مخروط‌افکنه‌ها و ناپایداری جریان‌های موجود بر سطح آن‌ها از منظر فرایند سیلاب و درنهایت مخاطرات مرتبط با آن بسیار حساس و آسیب‌پذیر هستند.



شکل ۱- موقعیت جغرافیایی محدوده مطالعاتی

### ۳- مواد و روشها

#### ۱-۱-۳- پارامترهای مؤثر و تعریف عملیاتی آن‌ها در پهنه مطالعاتی

برای تهیه نقشه حساسیت به وقوع سیلاب و یا به طور کلی تولید مدلی برای ارزیابی در معرض آسیب بلایای طبیعی، مجموعه‌ای از فاکتورهای مؤثر باید تعریف گردد. مجموعه فاکتورهای مؤثر بر سیلاب توسط ۱۲ فاکتور شامل شب، جهت شب، انحرافی شب<sup>۱</sup>، طبقات ارتفاعی، فاصله از رو دخانه، تراکم آبراهه، کاربری اراضی، بارندگی، لیتوژئی، نوع خاک، شاخص رطوبت توپوگرافی<sup>۲</sup>، شاخص قدرت توان جریان<sup>۳</sup> ساخته شد. این داده‌ها از منابع مختلف جمع‌آوری و با پیکسل سایز ۱۰ متر بر اساس DEM منطقه تبدیل شدند. شرح عوامل تهیه شده به صورت زیر می‌باشد:

#### ۱-۱-۳- شب

نسبت فاصله قائم (با اختلاف ارتفاع) دو نقطه با فاصله افقی میان همان دو نقطه تعریف می‌شود. این بدان معنی است که نیروی جاذبه زمین در به حرکت درآوردن رواناب تأثیر داشته و آن را تشدید می‌کند بنابراین فاکتور شب در هیدرولوژی بسیار مهم و تأثیرگذار است. نقشه شب زمین به دلیل تأثیر رابطه مستقیم بر فرصت نفوذ و رواناب

1 Curvature

2 Topographic wetness index (TWI)

3 Stream power index (SPI)

سطحی، یکی از عوامل مهم در وقوع سیل به شمار می‌رود. بهمنظور تهیه این نقشه با تکیه بر مدل رقومی (باقدرت تفکیک ۱۰ متر) و نرمافزار ArcGIS10.3 استفاده شد. نقشه به دست آمده به ۵ کلاس طبقه‌بندی گردید (شکل ۲).

### ۲-۱-۳- انحنای شب

فاکتور مهم دیگر که تأثیر بالایی بر وقوع سیل دارد. انحنای شب می‌باشد. انحنای شب بیانگر شکل توپوگرافی است به طوری که تقریباً مثبت بیانگر سطحی است که پیکسل‌ها در آن به صورت محدب (Convex, Coves, Concave, Noses) Hollows، تقریباً منفی بیانگر سطحی است که پیکسل‌ها در آن به صورت مقعر (Concave, Noses) Hollows، و مقدار صفر آن بیانگر سطحی است که شب نداشته و به صورت مستقیم (Flat, Straight) می‌باشد (قاسمیان، ۱۳۹۶). این فاکتور به پنج کلاس تقسیم‌بندی گردید که در شکل (۲) نشان داده شده است.

### ۳-۱-۳- ارتفاع

سومین فاکتور مؤثر که برای تحقیق حاضر در نظر گرفته شده است. طبقات ارتفاعی است. این فاکتور سبب تغییر در ویژگی‌های آب و هوایی شده درنتیجه باعث تفاوت در پوشش گیاهی، خاک و سایر پارامترهای محیطی می‌شود. ارتفاع همیشه نقش مهمی در نقشه حساسیت سیل دارد. نقشه طبقات ارتفاع زمین بر اساس مدل رقومی ارتفاع (باقدرت تفکیک ۱۰ متر) و نرمافزار ArcGIS10.3 تهیه شد. در پنج کلاس تقسیم‌بندی گردید که در (شکل ۲) نشان داده شده است.

### ۴-۱-۳- جهت شب

جهت شب فاکتور مهمی در تجزیه و تحلیل پایداری زئومورفولوژیکی می‌باشد چراکه برخی از پارامترهای اقلیمی همچون میزان دریافت تابش، باد (خشک، مرطوب) شدت بارش و رطوبت خاک تأثیر دارد. یکی از کاربردهای نقشه جهت شب تعیین حرکت آب است نقشه جهت شب، این نقشه با تکیه بر مدل رقومی (باقدرت تفکیک ۱۰ متر) و نرمافزار ArcGIS10.3 تهیه و به ۸ کلاس تقسیم‌بندی گردید که در (شکل ۲) نشان داده شده است.

### ۵-۱-۳- شاخص رطوبت توپوگرافی (TWI)

TWI در واقع تعیین‌کننده تأثیر توپوگرافی بر روی میزان سطوح اشباع جهت تولید رواناب است و یکی از شاخص‌های مفید در بررسی پتانسیل سیل به شمار می‌رود. شاخص رطوبت توپوگرافی بر اساس رابطه زیر تعریف می‌گردد، برای تهیه این نقشه از نرمافزار 2 SAGA GIS استفاده شد. نقشه حاصل به پنج کلاس تقسیم گردید (شکل ۲).

$$TWI = \ln\left(\frac{A_s}{\tan\beta}\right) \quad \text{رابطه (۱)}$$

### ۶-۱-۳- شاخص قدرت توان جریان

SPI یکی از پارامترهای مهم در پتانسیل سیل خیزی حوضه‌های آبخیز به شمار می‌رود. شاخص توان آبراهه با توجه به رابطه (۲) تعریف می‌گردد. برای تهیه این نقشه نیز از نرمافزار Arc GIS10.3 تهیه و به پنج کلاس طبقه‌بندی شدند (شکل ۲).

$$SPI = A_s \tan\beta \quad \text{رابطه (۲)}$$

### ۷-۱-۳- کاربری اراضی

کاربری اراضی یکی از مهم‌ترین عوامل مؤثر در تشکیل رواناب سطحی و پتانسیل سیل است. لایه کاربری اراضی نیز بر اساس کاربری‌های مختلف شهری در ۷ کلاس (زراعی، علفزار، مرتع درجه ۱، مرتع درجه ۲، اراضی بایر، مناطق سنگلاخی و مناطق مسکونی) تقسیم‌بندی شدند (شکل ۲).

### ۸-۱-۳- نوع خاک

خاک‌شناسی نقش مهمی را در توزیع رواناب سطحی و زیرسطحی ایفا می‌کند. ویژگی‌های سنگ‌شناسی و خاک‌شناسی در میزان نفوذپذیری آب در درون زمین و یا آبدهی مستقیم و درنتیجه تعادل جریان رودخانه و با سیل خیزی حوزه تأثیر بسزایی دارد لایه خاک از نقشه بافت خاک با مقیاس ۱:۱۰۰۰۰۰ استخراج گردید. Arc GIS10.3 تهیه شد. این داده از سازمان منابع آبراهه‌های موجود در حوضه آبریز، به‌طورکلی عمل تخلیه جریان‌های سطحی را انجام می‌دهند و با فاصله گرفتن از آبراهه‌ها، خطر ایجاد سیلاب و سیل خیزی کاهش می‌یابد (ملکیان و همکاران، ۱۳۹۱).

### ۹-۱-۳- فاصله از رودخانه

فاصله از رودخانه‌های مجاور با استفاده از داده‌های شرکت سهامی آب منطقه‌ای بر اساس لایه رقومی شبکه جریان حوضه آبخیز استان ایلام در نرمافزار ArcGIS10.3 تهیه و در پنج کلاس طبقه‌بندی گردید (شکل ۲).

### ۱۰-۱-۳- تراکم آبراهه

نقشه مجاور بر اساس لایه رقومی شبکه جریان حوضه آبخیز استان ایلام در نرمافزار ArcGIS10.3 تهیه گردید و با دستور "Line density" در محیط نرمافزار ARC GIS ترسیم و جهت مدل‌سازی به پنج کلاس طبقه‌بندی گردید (شکل ۲).

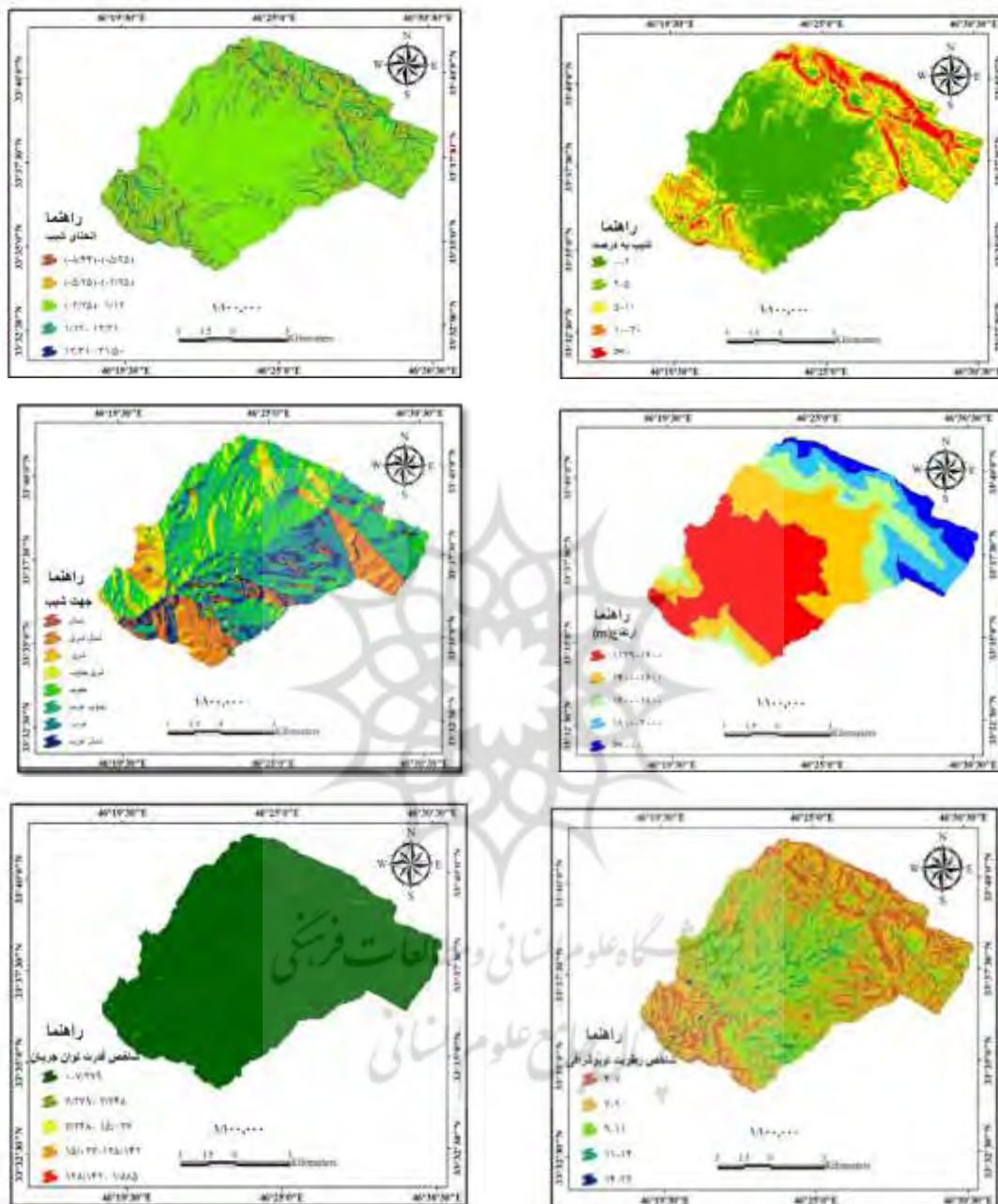
**۱۱-۱-۳- بارندگی**

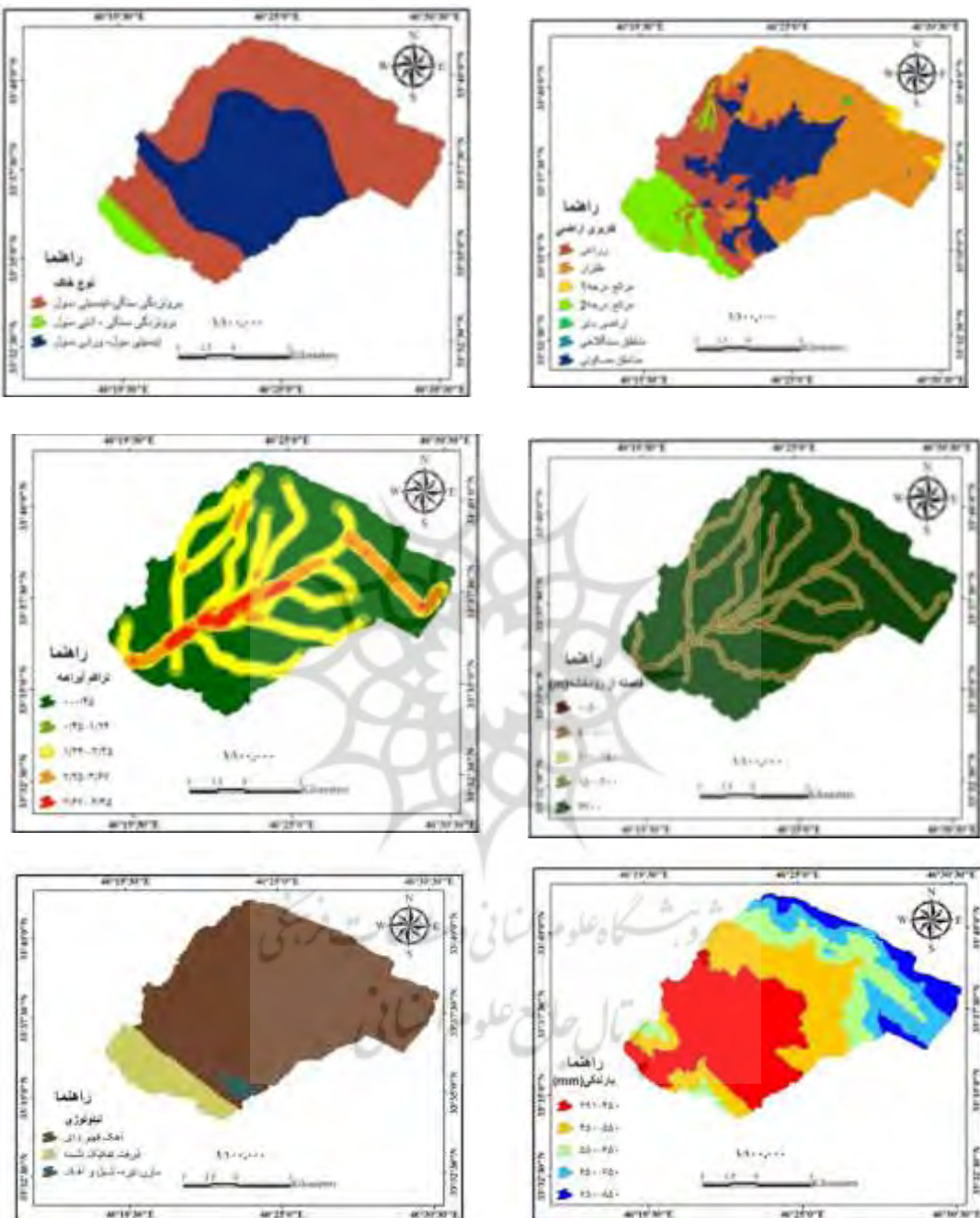
برای تشکیل لایه بارندگی، از داده‌های ۲۵ ساله (۱۳۹۵-۱۳۷۰) ایستگاه باران‌سنجدی داخل و خارج محدوده مطالعاتی استفاده شد. از روش‌های درون‌یابی شامل کریجینگ برای درون‌یابی نقشه بارندگی استفاده شد که از روش کریجینگ ساده به دلیل داشتن کمتر مقدار MAE و RMSE جهت تهیه نقشه بارندگی استفاده شد. نقشه منطقه پس از درون‌یابی به ۵ کلاس طبقه‌بندی شد (شکل ۲).

**۱۲-۱-۳- لیتولوژی**

لیتولوژی یا سنگ‌شناسی بر روی نفوذپذیری و ظرفیت نفوذ آب در خاک بسیار مؤثر می‌باشد. هرچه نفوذپذیری و خلل سنگ کمتر باشد در این صورت خطر سیل گیری افزایش می‌یابد. به‌منظور استخراج لایه لیتولوژی از نقشه زمین‌شناسی ۱:۱۰۰۰۰۰ استفاده گردید (شکل ۲).







شکل ۲- نقشه فاکتورهای مؤثر بر وقوع سیل در شهر ایلام

### ۳-۲-۳- مدل مورد استفاده

#### ۱-۲-۳- مدل تابع شواهد قطعی (EBF)

این مدل شامل پارامترهای  $Bel$  یا درجه اطمینان،  $Dis$  درجه عدم اطمینان،  $Unc$  درجه عدم قطعیت و  $Pls$  درجه معقولیت در محدوده بین صفر تا یک می‌باشد (پردهان و همکاران<sup>۱</sup>، ۲۰۱۴). بخش اصلی این تئوری توسط درجه اطمینان و درجه معقولیت ارائه می‌شود، به همین خاطر درجه معقولیت بزرگ‌تر یا مساوی درجه اطمینان است. داده استخراج شده از EBFs نه تنها همبستگی مکانی بین فاكتورهای مؤثر و رخداد سیل را بلکه همبستگی مکانی بین کلاس‌های هر یک از فاكتورهای مؤثر را برآورد می‌کند (جبورو همکاران<sup>۲</sup>، ۲۰۱۴). پارامترهای روابط مدل توسط معادلات (۳تا۷) برآورد می‌گردد: معادلات مذکور برای تعریف ادغام لایه‌های  $Bel$ ،  $Dis$  و  $Unc$  و  $Pls$  تعریف می‌شوند.

$$Belief(Bel) = \frac{Bel_1 + Bel_2 + \dots + Bel_n}{\beta} \quad (3)$$

$$Disbelief(Dis) = \frac{Dis_2 + Dis_3 + \dots + Dis_n}{\beta} \quad (4)$$

رابطه (۵)

$$Uncertainty(Unc) = \frac{\sum_{i=2}^n (Unc_{i-1} Unc_i + Bel_{i-1} Unc_i + Bel_i Unc_{i-1} + Dis_{i-1} Unc_i + Dis_i Unc_{i-1})}{\beta}$$

$$Plausibility(Pls) = Bel + Unc \quad (6)$$

$$\beta = 1 - \sum_{i=2}^n (Bel_{i-1} Dis_i - Dis_{i-1} Bel_i) \quad (7)$$

درجه پایین‌تر از اعتماد برای هر نوع عامل یا محدوده است.  $Di_n$  درجه عدم اعتماد برای هر نوع عامل یا محدوده است.  $Unc_n$  درجه عدم قطعیت هر نوع عامل یا محدوده است.  $N$  تعداد عوامل است. یکی از ویژگی‌های EBF این است که  $Bel$  و  $Dis$  در محدوده  $[0, 1]$  هستند. مجموع آن؛ و برابر با یک است. بنابراین؛  $Unc$  برابر یک باشد،  $Bel$  و  $Dis$  صفر می‌شوند و درصورتی که مجموع  $Bel$  و  $Dis$  برابر یک شود درجه  $Unc$  برابر صفر است.

<sup>1</sup> Pradhan et al  
<sup>2</sup> Jebur et al

### ۲-۲-۳- اعتبارسنجی مدل و نقشه‌های پیش‌بینی

اعتبار سنجی گویای ارزش پیش‌بینی و میزان انطباق مدل است. با این هدف در این پژوهش مجموعه نقاط برداشت شده که ۱۲۶ مورد در قالب نقاط سیل گیر بودند به طور تصادفی به دو گروه ۷۰ درصد (۸۹ موقعیت سیلابی) برای مدل‌سازی و ۳۰ درصد (۳۷ موقعیت سیلابی) برای اعتبارسنجی تقسیم شدند؛ بنابراین در این مرحله از ۳۷ موقعیت سیلابی در محیط GIS به منظور ارزیابی عملکرد مدل از سطح زیر نمودار AUC به دست آمده از منحنی ROC استفاده گردید. منحنی ROC یک نمایش گرافیکی از موازنی بین نرخ خطای منفی و مثبت برای هر مقدار احتمالی از پیش‌بینی‌هاست (پورقاسمی و همکاران، ۱۳۹۲). مقدار سطح زیر منحنی AUC، یک شاخص کمی برای نمایش کارایی و قدرت پیش‌بینی مدل است (بهداروند و همکاران، ۱۳۹۳). دامنه مقادیر مختلف سطح زیر منحنی بین ۰/۰ (پیش‌بینی تصادفی) تا حداقل ۱ (پیش‌بینی کاملاً صحیح) است (رحمتی و همکاران، ۲۰۱۶). همبستگی کیفی - کمی سطح زیر منحنی و ارزیابی تخمین به صورت (۱-۰/۹؛ ۰/۸-۰/۹؛ ۰/۷-۰/۸؛ ۰/۷-۰/۶) متوسط؛ ۰/۶-۰/۵ ضعیف) است (پرادهان، ۲۰۱۰).

### ۴- نتایج و یافته‌های پژوهش

بر اساس لایه‌های اطلاعاتی تهیه شده و نیز مدل آماری موجود پایگاه اطلاعاتی خوبی از سیلاب در پهنه ایلام حاصل گردید که در پهنه‌بندی نهایی خطر سیلاب در این محدوده نیز بسیار کارا بود که در قالب زیر مورد تحلیل قرار گرفته‌اند.

### ۴-۱- تعیین وزن پارامترهای مؤثر در پتانسیل سیل

با توجه به شرایط منطقه مطالعاتی و نیز موقعیت رخدادهای سیل و نیز نظر کارشناسی وزن‌دهی صورت گرفت. تجزیه و تحلیل‌های مقایسه‌ای بین موقعیت وقوع سیل‌های گذشته و پارامترهای محیطی مؤثر بر وقوع سیل انجام گرفت و بر اساس آن، وزن تأثیر هر پارامتر به دست آمد. نتایج شواهد قطعی که نشان‌دهنده رابطه بین رخداد سیلاب و فاکتورهای مؤثر در وقوع سیلاب می‌باشد در (جدول ۱) نشان داده شده است.

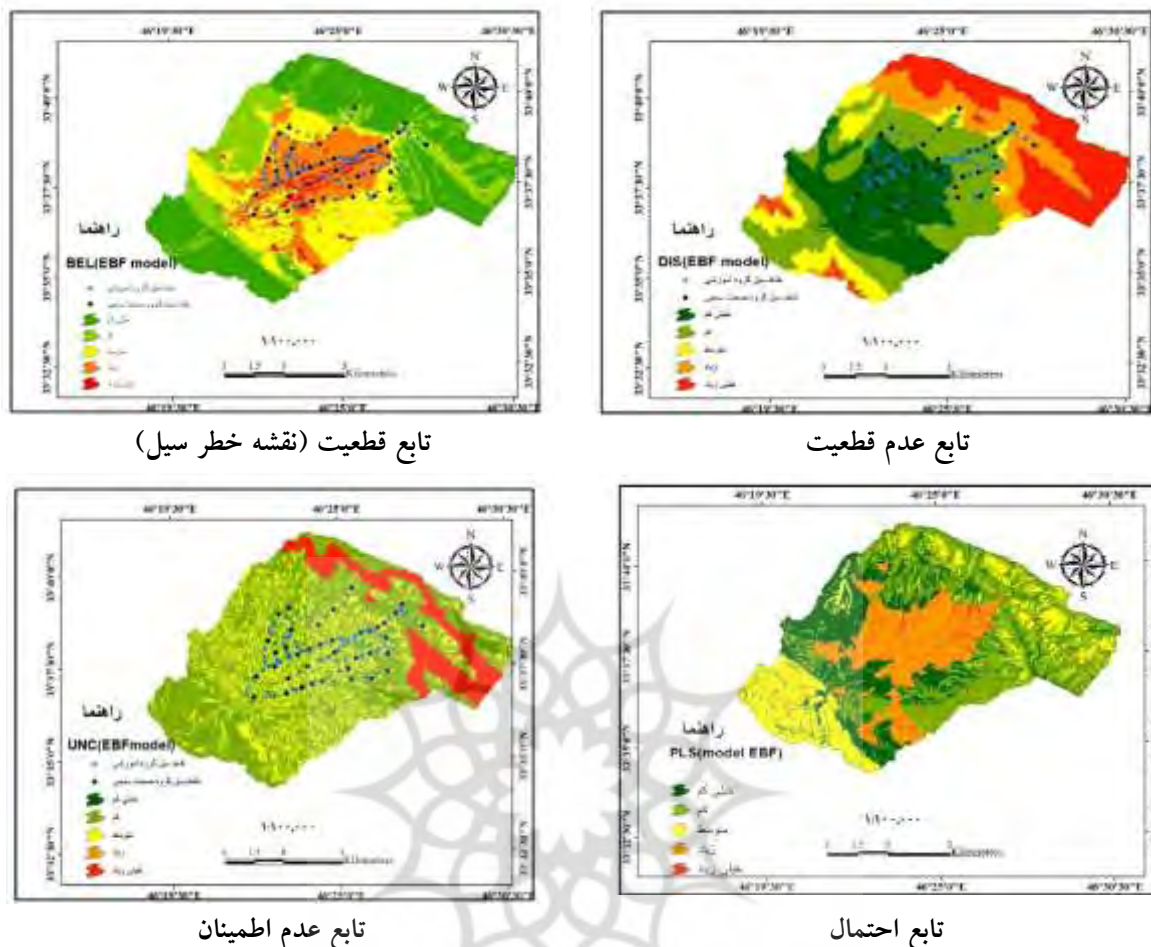
جدول ۱- تعداد پیکسل، تعداد نقاط طبقات پارامترها در روش تابع شواهد قطعی

Plausibility	Unc	Dis	Bel	فاصله طبقات	پارامتر
۰/۸۱	۰/۸۱	۰/۱۱۹	۰/۰۰۰	شمال	جهت شب
۰/۸۰	۰/۸۵۳	۰/۱۲۰	۰/۰۲۷	شمال شرق	
۰/۸۳	۰/۸۳	۰/۱۱۷	۰/۰۰۰	شرق	
۰/۸۱	۰/۸۱	۰/۱۱۹	۰/۰۰۰	جنوب شرق	
۰/۸۷۹	۰/۶۴۳	۰/۱۲۱	۰/۰۶۳	جنوب	

Plausibility	Unc	Dis	Bel	فاصله طبقات	پارامتر
۰/۸۸۰	۰/۵۳۹	۰/۱۲۰	۰/۸۹۰	جنوب غرب	شیب
۰/۹۰۳	۰/۷۱۲	۰/۰۸۲	۰/۲۷۶	غرب	
۰/۸۹۵	۰/۷۱۲	۰/۰۹۷	۰/۳۶۴	شمال غرب	
۰/۹۹۰	۰/۰۰۱	۰/۰۱۰	۰/۹۸۹	۰-۲	
۰/۸۶۸	۰/۸۵۸	۰/۱۳۲	۰/۰۱۱	۲-۵	
۰/۸۵۲	۰/۸۵۲	۰/۱۴۸	۰/۰۰۰	۵-۱۰	
۰/۸۲۵	۰/۸۲۵	۰/۱۷۵	۰/۰۰۰	۱۰-۳۰	
۰/۸۴۴	۰/۸۴۴	۰/۱۵۶	۰/۰۰۰	۳۰	
۰/۸۵۴	۰/۳۸۲	۰/۱۴۶	۰/۴۷۲	۱۱۳۹-۱۴۰۰	
۰/۸۴۱	۰/۳۳۶	۰/۱۰۹	۰/۵۰۵	۱۴۰۰-۱۶۰۰	
۰/۷۶۰	۰/۷۳۷	۰/۲۴۰	۰/۰۲۳	۱۶۰۰-۱۸۰۰	ارتفاع
۰/۷۶۷	۰/۷۶۷	۰/۲۳۳	۰/۰۰۰	۱۸۰۰-۲۰۰۰	
۰/۷۷۹	۰/۷۹۷	۰/۲۲۱	۰/۰۰۰	۲۰۰۰	
۰/۳۸۴	۰/۲۹۶	۰/۶۱۶	۰/۰۸۸	برونزدگی سنگی (اینسیتی سول)	
۰/۳۷۶	۰/۶۷۶	۰/۳۲۴	۰/۰۰۰	برونزدگی سنگی (آنتی سول)	
۰/۹۴۰	۰/۰۲۷	۰/۰۶۱	۰/۹۱۲	اینسیتی سول (ورتی سول)	فاصله از آبراهه
۱/۰۰۰	۰/۴۶۲	۰/۱۴۷	۰/۳۹۱	۰-۵۰	
۱/۰۰۰	۰/۴۴۸	۰/۱۳۶	۰/۴۱۶	۵۰-۱۰۰	
۱/۰۰۰	۰/۷۴۳	۰/۱۷۱	۰/۰۸۶	۱۰۰-۱۵۰	
۱/۰۰۰	۰/۷۵۸	۰/۱۷۷	۰/۰۶۵	۱۵۰-۲۰۰	
۱/۰۰۰	۰/۵۸۹	۰/۳۶۹	۰/۰۴۲	۲۰۰	
۰/۶۶۸	۰/۶۵۷	۰/۳۳۲	۰/۰۱۱	۰-۰/۰۴۵	
۰/۸۱۱	۰/۷۸۳	۰/۱۸۹	۰/۰۲۸	۰/۰۴۵-۱/۲۴	تراکم آبراهه
۰/۸۳۷	۰/۷۵۹	۰/۱۶۳	۰/۰۴۲	۱/۲۴-۲/۲۵	
۰/۸۵۹	۰/۰۲۷	۰/۱۴۱	۰/۸۳۳	۲/۲۵-۳/۷۷	
۰/۸۲۴	۰/۷۳۷	۰/۱۷۶	۰/۰۸۷	۳/۶۷-۷/۴۵	
۰/۸۴۸	۰/۷۰۹	۰/۱۵۲	۰/۱۳۹	زراعی	
۰/۷۷۹	۰/۷۱۳	۰/۲۲۱	۰/۰۶۶	علفزار	
۰/۸۵۹	۰/۸۵۹	۰/۱۴۱	۰/۰۰۰	مراتع درجه ۱	کاربری اراضی
۰/۸۴۰	۰/۸۴۰	۰/۱۶۰	۰/۰۰۰	مراتع درجه ۲	
۰/۸۶۰	۰/۸۶۰	۰/۱۴۰	۰/۰۰۰	اراضی بایر	
۰/۸۶۰	۰/۸۶۰	۰/۱۴۰	۰/۰۰۰	مناطق سنگلانخی	
۰/۹۵۵	۰/۱۵۹	۰/۰۴۵	۰/۷۹۵	مسکونی	
۰/۸۵۴	۰/۳۸۲	۰/۱۴۶	۰/۴۷۲	۴۵۰-۳۹۱	
۰/۸۴۱	۰/۳۳۶	۰/۱۰۹	۰/۰۵۰	۵۵۰-۴۵۰	بارندگی
۰/۷۶۰	۰/۷۳۷	۰/۲۴۰	۰/۰۲۳	۶۵۰-۵۵۰	

Plausibility	Unc	Dis	Bel	فاصله طبقات	پارامتر
۰/۷۶۷	۰/۷۶۷	۰/۲۳۳	۰/۰۰۰	۷۵۰-۶۵۰	انحنای شب
۰/۷۷۹	۰/۷۷۹	۰/۲۲۱	۰/۰۰۰	۸۷۸-۷۵۰	
۰/۶۱۳	۰/۳۰۴	۰/۳۸۷	۰/۳۰۹	(-۸/۴۴)-(-۵/۲۵)	
۰/۶۰۶	۰/۳۱۵	۰/۳۹۴	۰/۲۹۱	(-۵/۲۵)-(-۲/۰۶)	
۰/۷۸۱	۰/۳۸۱	۰/۲۱۹	۰/۴۰۰	۱/۱۲-(-۲/۰۶)	
۰/۵۶۳	۰/۵۳۴	۰/۴۳۷	۰/۰۲۹	۱/۱۲-۴/۳۱	
۰/۶۰۶	۰/۶۰۶	۰/۳۹۴	۰/۰۰۰	۴۳۱-۷/۵۰	
۱/۰۰۰	۰/۰۰۰	۰/۰۰	۱/۰۰	آهک فهوده‌ای	لینولوژی
۰/۴۷۴	۰/۴۷۴	۰/۵۲۶	۰/۰۰۰	آبرفت تفکیک نشده	
۰/۵۲۶	۰/۵۲۶	۰/۴۷۴	۰/۰۰۰	مارن تیره-شیل و آهک	
۰/۷۶۳	۰/۷۴۵	۰/۲۲۷	۰/۰۱۸	۴-۷	شاخص رطوبت توبوگرافی
۰/۷۳۸	۰/۶۹۱	۰/۲۶۲	۰/۰۴۷	۷-۹	
۰/۸۴۲	۰/۶۸۷	۰/۱۵۸	۰/۱۵۵	۹-۱۱	
۰/۸۴۰	۰/۵۸۸	۰/۱۶۰	۰/۲۵۲	۱۱-۱۴	
۰/۸۱۸	۰/۲۹۰	۰/۱۸۲	۰/۰۲۸	۱۴-۲۳	
۰/۹۰۲	۰/۷۵۹	۰/۰۹۸	۰/۱۴۳	۰-۷/۲۷۹	شاخص قدرت توان جریان
۰/۸۹۶	۰/۷۷۴	۰/۱۰۴	۰/۱۲۲	۷/۲۷۹-۷/۷۴۸	
۰/۸۸۲	۰/۸۴۱	۰/۱۱۸	۰/۰۴۱	۷/۷۴۸-۱۵/۰۲۷	
۰/۸۸۶	۰/۸۸۶	۰/۱۱۴	۰/۰۰۰	۱۵/۰۲۷-۱۲۸/۱۴۲	
۰/۸۹۲	۰/۷۱۰	۰/۱۰۸	۰/۱۸۲	۱۲۸/۱۴۲-۱/۸۸۵	

نقشه پتانسیل وقوع سیلاب با استفاده از مدل تابع شواهد قطعی در (شکل ۳) ارائه شده است. نقشه‌های حاصل از مدل EBF شامل درجاتی از قطعیت (Bel)، عدم قطعیت (Dis)، عدم اطمینان (Unc) و احتمال (Pls) در دامنه بین صفر و یک است و مجموع مقادیر قطعیت، عدم قطعیت و عدم اطمینان ۱ است. همان‌طور که مشاهده می‌شود ۴۴ درصد از منطقه در کلاس حساسیت متوسط تا خیلی زیاد قرار دارد. مساحت و درصد مساحت طبقات پتانسیل وقوع سیلاب در (جدول ۲) ارائه شده است.



شکل ۳- نقشه خطر سیلاب در شهر ایلام با استفاده از مدل شواهد قطعی

جدول ۲- مساحت و درصد مساحت طبقات خطر سیل و تعداد و درصد نقاط سیل در هر طبقه خطر

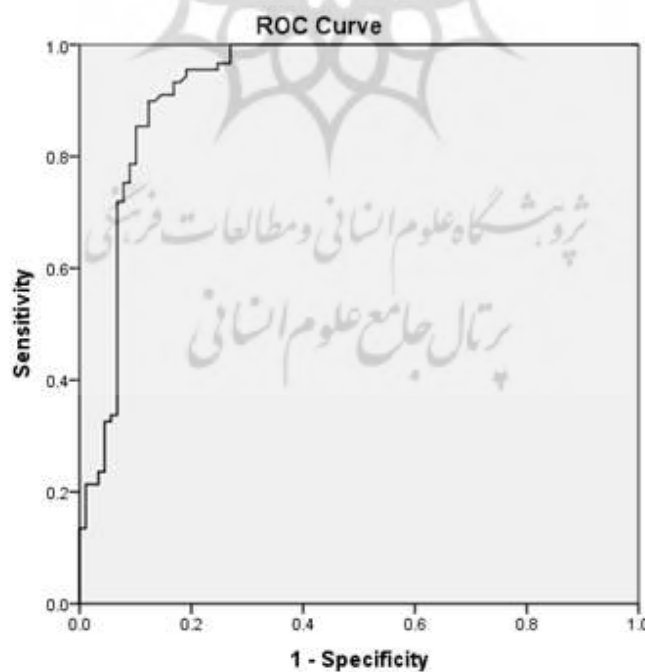
طبقات سیل	مساحت طبقات (هکتار)	درصد مساحت
خیلی زیاد	۳۸۹/۸	۲/۹
زیاد	۲۲۱۵/۱	۱۶/۸
متوسط	۳۱۲۸۷	۲۳/۷
کم	۲۹۰۱/۸	۲۲
خیلی کم	۴۵۴۱/۳	۳۴/۴

#### ۴-۲- اعتبارسنگی نقشه حساسیت به وقوع سیل

اعتبارسنگی نقشه‌های تهیه شده، گامی اساسی در توسعه و تعیین کیفیت آن‌ها می‌باشد و بدون آن مدل‌ها و نتایج آن‌ها فاقد اهمیت علمی خواهند بود. در این تحقیق از روش منحنی Receiver Operating (ROC) آن جهت ارزیابی استفاده شد. در صورتی که AUC کمتر از Characteristics و مساحت زیر منحنی (AUC) آن جهت ارزیابی استفاده شد. در جدول ۳ از عدم باشد نشان‌دهنده عدم صحت مدل است و از ۰/۵ تا ۱ نشان‌دهنده صحت مدل، جهت پیش‌بینی وجود یا عدم وجود پتانسیل سیل خیزی است. مقدار AUC برای مدل ارزیابی با توجه به داده‌های اعتبار سنگی در جدول (۳) ارائه شده است؛ و همچنین منحنی ROC مدل ارزیابی با توجه به داده‌های اعتبار سنگی در شکل (۳) ارائه شده است. نتایج نشان داد که برای میزان پیش‌بینی سطح زیر منحنی برابر با ۰/۹۲ درصد می‌باشد. پس این روش دارای نتیجه قابل قبول جهت تهیه نقشه حساسیت به وقوع سیلاب در شهر ایلام می‌باشد.

جدول ۳- مقدار AUC مدل پیش‌بینی ریسک سیل خیزی

AUC		مدل پیش‌بینی	ردیف
داده‌های آموزشی	داده‌های اعتبارسنگی		
۰/۹۲۸	۰/۹۱۲	EBF	۱



شکل ۳- منحنی ROC جهت اعتبار سنگی نقشه نهایی سیلاب شهر ایلام

## ۵- بحث و نتیجه‌گیری

سیل پر خسارت‌ترین عارضه مصیبت‌بار در جهان می‌باشد که تهدیدی جدی برای زندگی می‌باشد. پس تهیه نقشه‌های حساسیت به وقوع سیلاب در مشخص کردن مناطق حساس به وقوع سیل ضروری و یکی از گام‌های اولیه در کاهش خسارت می‌باشد و به علاوه آنالیز حساسیت به وقوع سیلاب یکی از محبوب‌ترین موضوعات مورد تحقیق می‌باشد. در این مورد روش‌های مختلفی توسط محققان برای کنترل و تخفیف سیلاب در دهه‌های اخیر به کار گرفته شده است. از اهداف اصلی این تحقیق می‌توان به تهیه نقشه حساسیت به وقوع سیلاب در شهر ایلام توسط مدل شواهد قطعی، ارزیابی کارایی روش نامبرده در تهیه نقشه حساسیت به وقوع سیلاب و تعیین مهم‌ترین فاکتورهای مؤثر در وقوع سیلاب در شهر ایلام اشاره نمود.

با استفاده از نقشه‌های احتمال وقوع سیل به راحتی مناطقی را که دارای احتمال خطر بالا هستند شناسایی کرده تا از وقوع خسارات جلوگیری نمود. برای این کار از ۱۲ عامل مؤثر و ۱۲۶ نقطه سیلابی ثبت شده، ۳۷ نقطه برای مدل-سازی و ۸۹ نقطه برای اعتبارسنجی مدل استفاده شد. یافته‌های این پژوهش حاکی از آن است که دقت مدل شواهد قطعی (EBF) در شناسایی مناطق دارای استعداد سیل گیری در شهر ایلام  $91/2$  درصد است. از آنجاکه شهر ایلام در دشت میانکوهی واقع شده است و به دلیل اینکه اطراف آن را کوه‌ها احاطه کرده و همچنین شبیب زیاد، رواناب به سرعت تشکیل شده و در مناطق کم شب باعث ایجاد آب‌گرفتگی و وقوع سیل می‌شود؛ و در جاهای توپوگرافی اجازه دهد سطح وسیعی را به صورت سیل در بر می‌گیرد. بیشتر مناطق مسکونی در داخل این شهر، در مناطقی احداث شده است که دارای شب کم هستند و به همین خاطر در صورت وقوع سیل موجب خسارات زیادی می‌شود و هرچه به سمت شب‌های بیشتر می‌رویم مقدار احتمال وقوع سیل کمتر می‌گردد که منطبق با یافته‌های خسروی و همکاران (۱۳۹۱) می‌باشد.

برای فاکتور شاخص رطوبت توپوگرافی در کل، با افزایش مقدار این شاخص احتمال رخداد وقوع سیل بیشتر می‌گردد. علت انتخاب ارتفاع از سطح دریا به عنوان یکی از پارامترهای مؤثر در وقوع سیلاب آن است که سیل در ارتفاعات پایین‌تر از سطح دریا اتفاق می‌افتد و در ارتفاعات بالا احتمال رخداد سیل بسیار کم است. با بررسی فاکتور بارندگی می‌توان به این نتیجه رسید که با افزایش ارتفاع، احتمال بارندگی بیشتر می‌گردد و از طرف دیگر احتمال وقوع سیل در ارتفاعات بالا غیرممکن است، پس در شهر ایلام در عمل با افزایش بارندگی احتمال وقوع سیل کاهش می‌یابد به دلیل کوهستانی بودن منطقه می‌باشد. فاکتور مؤثر دیگر، فاصله از رودخانه می‌باشد که با افزایش فاصله از رودخانه احتمال وقوع سیل کاهش می‌یابد. کاربری اراضی از دیگر فاکتورهای مؤثر در وقوع سیل می‌باشد، زیرا که نوع کاربری اراضی بر روی نفوذ رواناب و یا تشدید سرعت آن مؤثر می‌باشد. در فاکتور زمین‌شناسی به دلیل اینکه هر سازنده و هر سنگی دارای نفوذپذیری متفاوت می‌باشد، در نتیجه سازندهای یا نفوذپذیری کم، دارای تأثیر مستقیم

بر روی تشکیل و تشدید رواناب و درنتیجه وقوع سیل هستند؛ و فاکتور مؤثر دیگر انحنای زمین می‌باشد و به پنج کلاس تقسیم شد که کلاس دوم دارای بیشترین تأثیر بر روی رخداد سیل بودند.

نتایج و اطاعتاتی که از این تحقیق می‌توان گرفت برای بسیاری از ارگان‌های دولتی شامل شرکت‌های سهامی آب منطقه‌ای، ادارات منابع طبیعی و آبخیزداری، برنامه‌ریزها جهت برنامه‌های هشدار سیل و جلوگیری از وقوع خسارات در سیل‌های آینده شهر ایلام که هر چندین ساله شاهد وقوع سیل‌های خطرناک هستیم، مفید و ضروری خواهد بود. همچنین نتایج نشان داد که سیل خیزی شهر ایلام ناشی از عوامل محیطی شامل شیب زیاد و تغییر کاربری اراضی است که بر اساس نقشه‌ی پیش‌بینی خطر سیل ارائه شده، می‌توان در آینده اقدامات مدیریتی مناسبی را جهت کاهش خسارت‌ها و تلفات ناشی از سیل انجام داد.

#### کتابنامه

- آزادی، فهیمه؛ صدقوق، حسن؛ قهرودی، منیژه؛ شهابی، هیمن؛ ۱۳۹۹. پنهانه بندی حساسیت خطر سیل در حوضه آبخیز رودخانه کشکان با استفاده از دو مدل WOE و EBF. *جغرافیا و مخاطرات محیطی*. ۹(۱): ۴۵-۶۰.
- پروین، منصور؛ ۱۳۹۹. ارزیابی و پنهانه بندی خطر سیل‌های ناگهانی بر اساس عوامل فیزیوگرافی و شاخص‌های مورفومتریک (مطالعه موردی حوضه قصرشیرین). *محله جغرافیا و برنامه‌ریزی محیطی*. ۳۲: ۳۵-۲۳.
- رضایی مقدم، محمد حسین؛ حجازی، اسدالله؛ کامران، خلیل ولیزاده؛ رحیم پور، توحید؛ ۱۳۹۹. بررسی حساسیت سیل خیزی حوضه‌های آبریز با استفاده از شاخص‌های هیدرولوژیک (مطالعه موردی: حوضه آبریز الندچای، شمال غرب ایران). *پژوهش‌های رئومورفو‌لوزی*. ۹(۲): ۱۹۵-۲۱۴.
- سیستانی، بدؤئی؛ مسعود، نگارش؛ حسین، فتوحی؛ صمد؛ ۱۳۹۶. پنهانه بندی خطر سیلاب در حوضه آبریز گابریک. *محله جغرافیا و مخاطرات محیطی*. ۶(۲۲): ۱۸۲-۱۶۳.
- عسگری، شمس‌اله؛ صفاری، امیر؛ فتحی، حجت‌الله؛ ۱۳۹۷. بررسی توان سیل خیزی در حوضه آبریز جعفرآباد. *نشریه تحقیقات کاربردی علوم جغرافیایی*. ۵۰(۱۸): ۹۰-۷۷.
- علیزاده، امین؛ ۱۳۹۰. اصول هیدرولوژی کاربردی، مشهد: انتشارات دانشگاه امام رضا (ع)، چاپ هفدهم، ص ۹۲۸.
- قاسمیان، بهاره؛ عابدینی، موسی؛ رostanی، شهرام؛ شیرزادی، عطالله؛ ۱۳۹۷. ارزیابی و مقایسه کارایی الگوریتم‌های یادگیری ماشین بهمنظور تهیه نقشه حساسیت زمین‌لغزش‌های سطحی اطراف شهر کامیاران، رساله دکتری، دانشگاه محقق اردبیلی.
- لشکری، حسن؛ ۱۳۷۵. بررسی سینوپتیکی بارش‌های شدید جنوب و جنوب‌غرب ایران. رساله دکتری، دانشگاه تربیت مدرس.
- مامی‌زاده، جعفر؛ همتی، موسی؛ قادری، جمیل؛ ۱۳۹۴. پنهانه بندی سیلاب رودخانه چرادول (بازه‌ی چناره)، با استفاده از مدل HEC-RAS در محیط GIS. *محله علوم و مهندسی آبخیزداری ایران*. ۹(۲۹): ۷۵-۷۱.

مددی، عقیل؛ اصغری، صیاد؛ بادامکی، مهدی؛ احسان، قلعه؛ ۱۳۹۹. پنهانه‌بندی خطر سیلاب در حوضه آبریز قوری چای کورائیم در استان اردبیل. *پژوهش‌های ژئومورفولوژی*. ۹(۲): ۹۷-۸۱.

میراحمدی، ابوالقاسم؛ شیران، مهناز؛ ۱۳۸۸. کاربرد مدل HEC-HMS در تحلیل حساسیت متغیرهای ژئومورفولوژی مؤثر بر سیلاب دشت کرون. *فصلنامه جغرافیا و توسعه*. ۷(۱۶): ۱۷۳-۱۵۳.

- Buchele, B. Kreibich, H. Kron, A. Thielen, A. Ihringer, J. Oberle, P. Merz, B. Nestmann, F., 2006. Flood-risk mapping: contributions towards an enhanced assessment of extreme events and associated risks, *Natural Hazards Earth System*, 6: 485-503.
- Diakakis, M. Deligiannakis, G. Pallikarakis, A. Skordoulis, M., 2018. Factors controlling the spatial distribution of flash flooding in the complex environment of a metropolitan urban area. The case of Athens flash flood event, *International Journal of Disaster Risk Reduction*, 18:171- 180.
- Hong, H. Tsangaratos, P. Ili, I. Liu, J. Zhu, A. X. Chen, W., 2018. Application of fuzzy weight of evidence and data mining techniques in construction of flood susceptibility map of Poyang Lake County, China, *Science of the Total Environment*, 625: 575-588.
- Hyalmarson, H. W., 1998. *Flood Hazard Zonation in Arid land*, Wesley Publishers.
- James, M. D. Larson, M. D. G lover, T, F., 1980. Floodplain Management Needs Precuiler to Arid Climates, *Water Resources Bulletin*, 16: 1020-1029.
- Jebur, M. Pradhan, B. Tehrany, M., 2014. Manifestation of LiDAR-derived parameters in the spatial prediction of landslides using novel ensemble evidential belief functions and support vector machine models in GIS, *IEEE Journal of Selected Topics in Applied Earth Observations and Remote Sensing*, 8: 674 -690
- Murphy, P.M., 2018. Flood Hazard Zoning of Tarlac City: Towards the Development of Flood Overlay Zones and Provision, *Procardia Engineering*, 212: 69-76.
- Pham, B.T. Avand, M. Janizadeh, S. Phong, T.V. Al-Ansari, N. Ho, L.S. Das, S. Le, H.V. Amini, A. Bozchaloei, S.K. Jafari, F., 2020. GIS based hybrid computational approaches for flash flood susceptibility assessment, *Water*, 12: 683.
- Stephan, C., 2002. Hydrologic investigation by the U.S Geological Survey Following the 1996 and 1997 Floods in the upper Yellowstone River, Montana, *American water Resources Association 19<sup>th</sup> Annual Montana, Section one*:1-18.
- Tien Bui, D. Khosravi, K. Shahabi, H. Daggupati, P. Adamowski, J.F. Melesse, A.M. Thai Pham, B. Pourghasemi, H.R. Mahmoudi, M. Bahrami, S. Pradhan, B., 2019. Flood spatial modeling in northern Iran using remote sensing and GIS: A comparison between evidential belief functions and its ensemble with a multivariate logistic regression model, *Remote Sensing*, 11: 1589.
- Tingsanchali, T., 2012. Urban flood disaster management. *Procedia engineering*, 32: 25-37.